

高等 学 校 教 材

材料现代分析 测试实验

—— 张庆军 主编

Chemical Industry Press



化学工业出版社
教材出版中心

TB3-33

2

高 等 学 校 教 材

材料现代分析测试实验

张庆军 主编



化 学 工 业 出 版 社
教 材 出 版 中 心

· 北 京 ·

本书结合教学、科研实践和材料现代分析手段和分析方法的发展，重点介绍了材料现代分析测试的典型和共性的实验，使学生了解和掌握材料现代分析测试的实验技能，培养综合创新能力。

本书可作为高等学校材料学专业本科生和研究生的实验指导书，也可供相关专业技术人员参考。

图书在版编目 (CIP) 数据

材料现代分析测试实验/张庆军主编. —北京：化学工业出版社，2005.10

高等学校教材

ISBN 7-5025-7800-5

I. 材… II. 张… III. 工程材料-分析-实验-高等学校-教材 IV. TB3-33

中国版本图书馆 CIP 数据核字 (2005) 第 126043 号

高等学校教材

材料现代分析测试实验

张庆军 主编

责任编辑：杨菁 张双进

文字编辑：徐雪华

责任校对：洪雅姝

封面设计：潘峰

*

化学工业出版社 出版发行
教材出版中心

(北京市朝阳区惠新里 3 号 邮政编码 100029)

购书咨询：(010) 64982530

(010) 64918013

购书传真：(010) 64982630

<http://www.cip.com.cn>

*

新华书店北京发行所经销
大厂聚鑫印刷有限责任公司印刷
三河市宇新装订厂装订

开本 787mm×1092mm 1/16 印张 7 字数 159 千字

2006 年 8 月第 1 版 2006 年 8 月北京第 1 次印刷

ISBN 7-5025-7800-5

定 价：16.00 元

版权所有 违者必究

该书如有缺页、倒页、脱页者，本社发行部负责退换

前　　言

材料分析是通过对表征材料的物理性质或物理化学性质参数及其变化的检测实现的。换言之，材料分析的基本原理是指测量信号与材料成分、结构等的特征关系。采用各种不同的测量信号形成了各种不同的材料分析方法。材料现代分析、测试技术的发展，使得材料分析不仅包括材料（整体的）成分、结构分析，也包括材料表面与界面分析、微区分析、形貌分析等诸多内容。材料现代分析方法也不仅是以材料成分、结构等分析、测试为惟一目的，而是成为材料科学的重要研究手段，广泛应用于研究和解决材料理论和工程实际问题。无论是现在还是将来，材料分析测试技术和手段在材料的研究中都占有越来越重要的地位。

本实验课程的目的是使学生进一步巩固和掌握材料的各种先进的现代分析方法，掌握初步的样品制备的方法和技巧，培养和提高学生的从理论到实践的能力，培养学生的综合研究能力和创新能力。本实验教材安排了与X射线衍射仪、扫描电子显微镜、透射电子显微镜、综合热分析仪、压汞法孔结构测定仪、激光粒度分析仪等现代分析仪器有关的实验。使学生了解掌握现代分析方法基本原理、过程、装备及应用，提高分析技能。本教材适合大专院校的本科生、研究生的实验教学和自学。

本书由张庆军主编，编写实验一至实验七、实验九、实验十六至实验十八并负责统稿工作，王榕林编写实验十三至实验十五，张艳博编写实验十一、实验十二，段立伟编写实验八、实验十。

限于作者水平，书中疏漏在所难免，恳请读者对书中不妥之处予以批评指正。

编者
2005年6月

目 录

实验一 X 射线衍射仪的构造及原理	1
实验二 X 射线衍射技术与定性相分析	11
实验三 X 射线衍射定量相分析	20
实验四 晶粒大小与晶格畸变的测定	23
实验五 宏观内应力的测定	29
实验六 非晶态材料结构径向分布函数的测定	36
实验七 透射电镜的基本结构和操作	43
实验八 透射电镜的试样制备	49
实验九 选区电子衍射及电子衍射谱衍射常数的测定	57
实验十 薄试样的 X 射线能谱分析	60
实验十一 扫描电镜的基本原理与实验方法	70
实验十二 块状试样的 X 射线能谱分析	76
实验十三 综合热分析实验	82
实验十四 压汞法孔结构分析实验	88
实验十五 激光粒度分析法测定粉料粒度	94
实验十六 红外光谱分析	97
实验十七 核磁共振波谱仪	102
实验十八 电感耦合等离子体原子发射光谱法 (ICP-AES) 实验	105

实验一 X 射线衍射仪的构造及原理

实验目的

1. 了解 X 射线衍射仪的构造与操作原理。
2. 了解 X 射线衍射仪分析的过程及步骤。
3. 掌握 X 射线衍射仪分析样品的制备方法。
4. 了解 X 射线的安全防护规定和措施。

实验原理

一、射线衍射仪的构造与原理

记录、研究物质的 X 射线图谱的仪器基本组成部分是 X 射线源、样品及样品位置取向的调整机构或系统、衍射线方向和强度的测量系统、衍射图的处理分析系统四部分组成，如图 1-1 所示。对于多晶 X 射线衍射仪，主要有以下几部分构成：X 射线发生器、测角仪、X 射线探测器、X 射线数据采集系统和各种电气系统、保护系统组成。

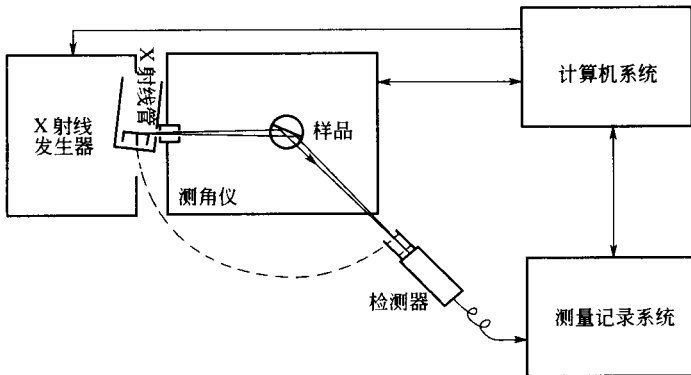


图 1-1 X 射线衍射仪的结构图

X 射线多晶衍射仪的 X 射线发生器是高稳定度的。它由 X 射线管、高压发生器、管压管流稳定电路和各种保护电路等部分组成。

现代衍射用的 X 射线管都属于热电子二极管，有密封式和转靶式两种。前者最大功率在 2.5kW 以内，视靶材料的不同而异；后者是为获得高强度 X 射线而设计的，一般功率在 10kW 以上。BDX 使用国产密封式 X 射线管，它们的安装尺寸能和 Philips 公司的晶体衍射 X 射线管互换。

密封式 X 射线管的结构如图 1-2 所示。阴极接负高压，阳极接地。灯丝罩起着控制栅的作用，使灯丝发出的热电子在电场的作用下聚焦轰击到靶面上。阳极靶面上受电子束轰击的焦点便成为 X 射线源，向四周发射 X 射线。在阳极一端的金属管壁上一般开

有四个射线出射窗，X 射线就从这些窗口往管外发射。密封式 X 射线管除了阳极一端外，其余部分都是玻璃制成的。管内真空度达 $10^{-5} \sim 10^{-6}$ Torr (Torr, 即 mmHg 柱, $1\text{ Torr} = 133.322\text{ Pa}$)，高真空可以延长发射热电子的钨质灯的寿命，防止阳极表面污染的发展。早期生产的 X 射线管一般用云母片作窗口材料，而现在的衍射用射线管窗口都用 Be 片（厚 $0.25 \sim 0.3\text{ mm}$ ）作密封材料，对 MoK_α 、 CuK_α 、 CrK_α 分别具有 99%、93%、80% 左右的透过率。

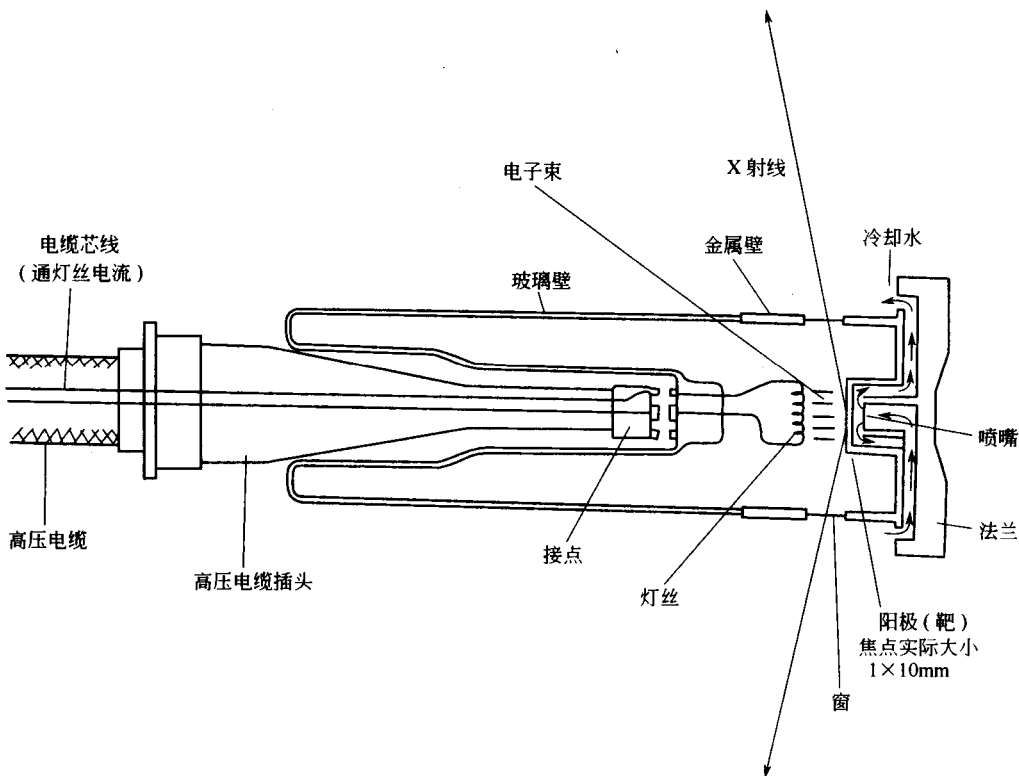


图 1-2 密封式衍射用 X 射线管结构示意图

阳极靶面上受电子束轰击的焦点呈细长的矩形状（称线焦点或线焦斑），从射线出射窗中心射出的 X 射线与靶面的掠射角为 6° ，因此，从出射方向相互垂直的两个出射窗观察靶面的焦斑，看到的焦斑的形状是不一样的（图 1-3）。从出射方向垂直焦斑长边的两个出射窗口观察，焦斑成线状称为线光源；从另外两个出射窗口观察，焦斑如点状称为点光源。粉末衍射仪要求使用线光源，因此，在衍射仪每次安装管子的时候，必须辨别所使用的 X 射线出射窗是否为线焦点方向（管子上有标记）。此外，还要求测角仪或相机相对于靶面平面要有适当的倾斜角。

管子的额定功率因靶面的种类及厂家而异。表 1-1 给出了各种靶材的密封 X 射线管的可达到的额定功率。长时间连续运行时，使用功率建议在额定值的 80% 以下，有利于管子寿命的延长。

X 射线管消耗的功率只有很小部分转化为 X 射线的功率，99% 以上都转化为热而消耗掉，因此 X 射线管工作时必须用水流从靶面后面加以冷却，以免靶面熔化毁坏。

为提高靶与水的热交换效率，冷却水流是用喷嘴喷射在电子焦点的背面上的，流量要求大于 3.5L/min。X 射线发生器的停水报警保护电路必须可靠。

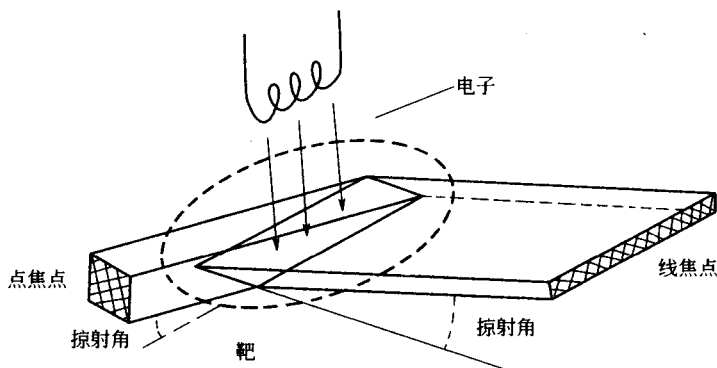


图 1-3 线焦点与点焦点的取出

表 1-1 密封式 X 射线管的额定功率

靶材种类	W	Mo	Cu	Co	Fe	Cr
细焦点 $0.4 \times 8 \text{mm}^2$	2.0kW	2.0kW	1.5kW	1.3kW	0.9kW	1.3kW
普通焦点 $1 \times 10 \text{mm}^2$	2.4kW	2.4kW	2.0kW	1.8kW	1.5kW	1.8kW
大焦点 $2 \times 12 \text{mm}^2$	2.7kW	2.7kW	2.7kW	2.7kW	2.2kW	2.7kW

二、测角仪的构造及光路系统

1. 测角仪的构造

测角仪是衍射仪的最精密的机械部件，是 X 射线衍射仪测量中最核心部分，用来精确测量衍射角。测角仪的结构如图 1-4 所示。

样品台（小转盘 H）与测角仪圆（大转盘 G）同轴（中心轴 O 与盘面垂直）；X 射

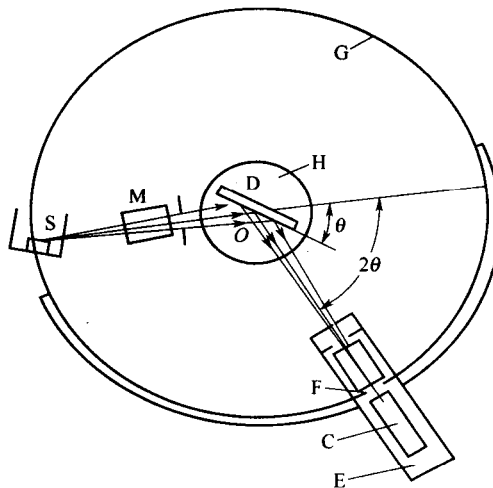


图 1-4 X 射线测角仪结构示意图

C—记数管；D—样品；E—支架；F—接收（狭缝）光阑；G—大转盘（测角仪圆）；
H—样品台；M—入射光阑；O—测角仪中心；S—管靶焦

线管靶面上的线状焦斑 (S) 与 O 轴平行；接收光栏 (F) 与计数管 (C) 共同安装在可围绕 O 轴转动的支架上；处于入射线与样品 (D) 之间的人射光栏 (M) 包括梭拉狭缝 (S_1) 与发散狭缝 (K) (图中未画出)， S_1 与 K 分别限制入射线的垂直 (方向) 与水平 (方向) 发散度；样品与接收光栏间有防散射狭缝 (L) 与梭拉狭缝 (S_2) (图中未画出)， S_2 限制衍射线垂直发散度，而 L 与 F 限制衍射线水平发散度；S、 S_1 、K、D、L、 S_2 及 F 构成了测角仪的光学布置，S 发出的具有一定发散度的 X 射线经 S_1 与 K 后照射到样品 D 上，产生的衍射线经 L、 S_2 后在光栏 F 处聚焦，然后进入计数管 C。衍射实验过程中，安装在 H 上的样品 (其表面应与 O 轴重合) 随 H 与支架 E 以 $1:2$ 的角速度关系联合转动，以保证入射角等于反射角；连动扫描过程中，一旦 2θ 满足布拉格方程 (且样品无系统消光时)，样品将产生衍射线并被计数光管接收转换成电脉冲信号，经放大处理后通过记录仪描绘成衍射图。

2. 测角仪的光路系统

BDX3200 型衍射仪的测角仪的光路系统如图 1-5 所示。

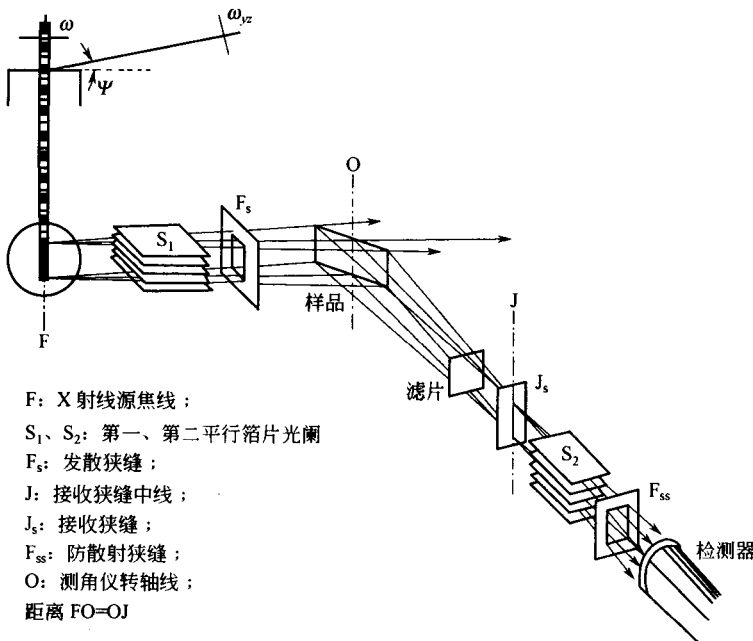


图 1-5 测角仪的光路系统

测角仪光路上配有一套狭缝系统。

(1) Solar 狹缝 即图 1-5 中的 S_1 、 S_2 ，各设在射线源与样品和样品与检测器之间。Solar 狹缝是一组平行薄片光阑，由一列平行等距离的，平面与射线源焦线垂直的金属薄片组成；用来限制 X 射线在测角仪轴向方向的发散，使 X 射线束可以近似地看作仅在扫描圆平面上发散的发散束。BDX 系列衍射仪的 Solar 狹缝的全发射角 ($2 \times$ 薄片间距/薄片长度) 为 3.5° ，因此，轴向发散引起的衍射角测量误差较小，峰形畸变也较小，可以获得较佳的峰形，有较佳的衍射角分辨率。

(2) 发散狭缝 即 F_s ，用来限制发散光束的宽度。

(3) 接收狭缝 即 J_s ，用来限制所接收的衍射光束的宽度。

(4) 防散射狭缝 即 F_{ss} , 用来防止一些附加散射(如各狭缝光阑边缘的散射, 光路上其他金属附件的散射)进入检测器, 有助于减低背景。

后三种狭缝都有多种宽度的插片可供使用时选择。BDX 系列衍射仪测角仪的滤波片设置在样品与接收狭缝之间。

整个光路系统应满足如下要求。

(1) 发散、接收、防散射等各狭缝的中线、X 射线源焦线以及 Solar 狹缝的平行箔片的法线等均应与衍射仪轴平行。并且它们的高度的中点以及检测器的窗口中心、样品的中心、滤片的中心等均应同在衍射仪的扫描平面上。发散、接收、防散射等狭缝的中线位置不因更换狭缝插片(改变狭缝的宽度)而改变。

(2) 自 X 射线源焦线 F 到衍射仪轴 O 的距离和 O 到接收狭缝中线 J 的距离相等: $FO=OJ$, 以 F、O、J 三者严格共一平面时的位置作为 2θ 等于零度的位置。发散狭缝的中线亦应在这个平面上。

(3) 样品表面平面以轴 O 转动, 且恒与 O 重合。当 J 作连续扫描时, 其转动的角度与样品表面转的角度之比为 2:1, 以样品表面平面与 F 及 J 严格共一平面时的位置为接收狭缝对样品作 2:1 跟随转动的起始位置(亦称 θ 的零度位置)。在这个位置上入射 X 射线光束正好掠过样品表面。

当上述要求满足后, 则无论入射 X 射线束对样品表面取为怎样的 θ 角, 衍射的 X 射线束都能近似地聚焦进入接收狭缝中, 而衍射角 θ 就等于接收狭缝自零度位置起转过的角度的一半。这些对光路的要求, 一部分在测角仪的设计与装配时已得到了足够精度的满足, 而有一些则需在使用时通过校直操作来精细地满足。

三、X 射线强度测量记录系统

BDX3200X 射线粉末衍射仪的 X 射线强度测量记录系统配用 NaI 闪烁检测器, 由放大器、分析器、计数率表三个插件组成脉冲幅度分析计数系统。

X 射线衍射分析中使用的闪烁计数管, 其闪烁体大多使用掺 Tl 的 NaI 晶体。图 1-6 示出闪烁计数管的基本结构, 它由三部分组成: 闪烁体、光电倍增管和前置放大器。

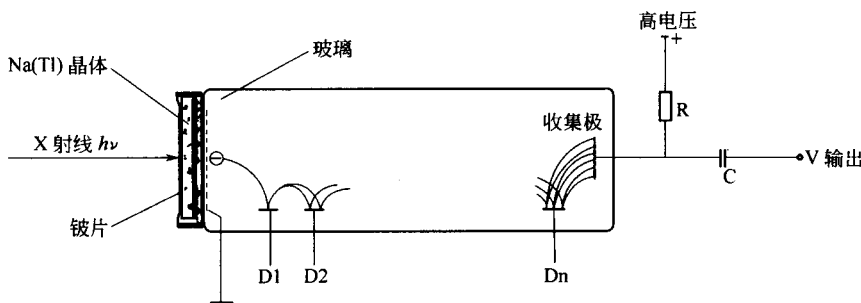


图 1-6 闪烁计数管的工作原理

闪烁体是掺 0.5% 左右 Tl 作为激活剂的 NaI 透明单晶体的切片, 厚约 1~2mm。晶体密封在一个特制的盒子里, 防止 NaI 晶体受潮损坏。密封盒的一个面是不透光的薄铍片, 用作接收射线的窗; 另一面是对蓝紫色光透明的光学玻璃片。密封盒的透光面紧贴在端窗式的光电倍增管的光电阴极窗上面, 界面上涂有一薄层光学硅脂以增加界面的光导率。NaI 晶体被 X 射线激发能发出 420nm(蓝紫色)的可见光。每个人射 X 射线

量子将使晶体产生一次闪烁。每次闪烁激发倍增管光电阴极产生光电子，这些一次光电子被第一级打拿极收集并激发出更多的二次电子，再被下一级打拿极收集，又倍增出更多的电子。光电阴极发射的光电子经 10 级打拿极的倍增作用后，最后收集极能获得约 10^5 倍的电荷，从而形成可检测的电脉冲信号。

目前，闪烁计数管仍是各种晶体 X 射线衍射工作中通用性最好的检测器。它的主要优点是：对于晶体 X 射线衍射工作使用的各种 X 射线波长，均具有很高的以至 100% 的量子效率；稳定性好；使用寿命长。此外，它具有很短的分辨时间 (10^{-7} s 级)，因而实际上不必考虑检测器本身所带来的计数损失；对晶体衍射用的软 X 射线也有一定的能量分辨力。因此现在的 X 射线衍射仪大多配用闪烁计数管。

四、X 射线的防护

X 射线对人体组织能造成伤害。人体受 X 射线辐射损伤的程度，与受辐射的量（强度和面积）和部位有关，眼睛和头部较易受伤害。衍射分析用的 X 射线（属“软” X 射线）比医用 X 射线（属“硬” X 射线）波长长，穿透弱，吸收强，故危害更大。所以，每个实验人员都必须牢记：对 X 射线“要注意防护！”。人体受超剂量的 X 射线照射，轻则烧伤，重则造成放射病乃至死亡。因此，一定要避免受到直射 X 射线束的直接照射，对散射线也需加以防护，也就是说，在仪器工作时对其初级 X 射线（直射线束）和次级 X 射线（散射 X 射线）都要警惕。前者是从 X 射线焦点发出的直射 X 射线，强度高，在 X 射线分析装置中通常它只存在于限定的方向中。散射 X 射线的强度虽然比直射 X 射线的强度小几个数量级，但在直射 X 射线行程附近的空间都有散射 X 射线，所以直射 X 射线束的光路必须用重金属板完全屏蔽起来，即使小于 1mm 的小缝隙，也会有 X 射线漏出。

防护 X 射线可以用各种铅的或含铅的制品（如铅板、铅玻璃、铅橡胶板等）或含重金属元素的制品，如高锡含量的防辐射有机玻璃等。

按照射线防护的规定，以下的要求是必须遵守的。

1. 每一个使用 X 射线的单位须向卫生防疫主管部申办“放射性工作许可证”和“放射性工作人员证”；负责人需经过资格审查。

2. X 射线装置防护罩的泄漏射线须符合防护标准的限制：在距机壳表面外 5cm 处的任何位置，射线的空气吸收剂量率须小于 $2.5\mu\text{Gy}/\text{h}$ (Gy——戈瑞，吸收剂量单位)。在使用 X 射线装置的地方，要有明确的警告标记，禁止闲人进入。

3. X 射线操作者要使用防护用具。

4. X 射线操作者要具备射线防护知识，要定期接受射线职业健康检查，特别注意眼科、皮肤、指甲和血象的检查，检查记录要建档保存。

5. X 射线操作者可允许的被辐照剂量当量定为一年不超过 50mSv 或三个月不超过 30mSv (考虑到全身被辐照的最坏情况而作的估算)。

衍射实验方法

X 射线衍射实验方法包括样品制备、实验参数选择和样品测试。

一、样品制备

在衍射仪法中，样品制作上的差异对衍射结果所产生的影响，要比照相法中大得

多。因此，制备出符合要求的样品，是衍射仪实验技术中重要的一环，通常制成平板状样品。衍射仪均附有表面平整光滑的玻璃的或铝质的样品板，板上开有窗孔或不穿透的凹槽，样品放入其中进行测定。

1. 粉晶样品的制备

- (1) 将被测试试样在玛瑙研钵中研成 $10\mu\text{m}$ 左右的细粉；
- (2) 将适量研磨好的细粉填入凹槽，并用平整的玻璃板将其压紧；

(3) 将槽外或高出样品中板面的多余粉末刮去，重新将样品压平，使样品表面与样品板面平整光滑。若是使用带有窗孔的样品板，则把样板放在一表面平整光滑的玻璃板上，将粉末填入窗孔，捣实压紧即成；在样品测试时，应使贴玻璃板的一面对着入射 X 射线。

2. 特殊样品的制备

对于金属、陶瓷、玻璃等一些不易研成粉末的样品，可先将其锯成窗孔大小，磨平一面，再用橡皮泥或石蜡将其固定在窗孔内。对于片状、纤维状或薄膜样品也可取窗孔大小直接嵌固在窗孔内。但固定在窗孔内的样品其平整表面必须与样品板平齐，并对着入射 X 射线。

二、测量方式和实验参数的选择

1. X 射线波长的选择

选择适用的 X 射线波长（选靶），是实验成功的基础。实验采用那种靶的 X 射线管，要根据被测样品的元素组成。选靶的原则是：避免使用能被样品强烈吸收的波长，否则将使样品激发出强的荧光辐射，增高衍射图的背景。根据元素吸收性质的规律，我们可以记住下面的选靶规则：X 射线管靶材的原子序数要比样品中最轻元素（钙及比钙更轻的元素除外）的原子序数小或相等，最多不宜大于 1。

2. 狹缝的选择

狹缝的大小对衍射强度和分辨率都有影响。大狹缝可得到较大的衍射强度，但降低分辨率，小狹缝提高分辨率但损失强度，一般如需要提高强度时宜选大些的狹缝，需要高分辨率时宜选用小些的狹缝，尤其是接收狹缝对分辨率影响更大。每台衍射仪都配有各种狹缝以供选用。其中，发散狹缝的目的是为了限制光束不要照射到样品以外的地方，以免引起大量的附加的散射或线条；接受狹缝是为了限制待测角度附近区域上的 X 射线进入检测器，它的宽度对衍射仪的分辨力、线的强度以及峰高/背底比起着重要作用；防散射狹缝是光路中的辅助狹缝，它能限制由于不同原因产生的附加散射进入检测器。表 1-2 列出了扫描的起始角 (2θ) 与发射狹缝的孔角 α 的关系。

表 1-2 扫描的起始角 (2θ) 与发散狹缝的孔角 α

发散狹缝孔角 $\alpha/(^\circ)$	所适用的最低 2θ 角/ $(^\circ)$	相应的最大 d 间距/ \AA		
		MoK α	CuK α	CoK α
$\frac{1}{6}^\circ(10')$	2.9	14.0	29.5	34
$\frac{1}{2}^\circ(30')$	8.5	4.8	10.4	12
1°	17.0	2.4	5.2	6.05
2°	34.5	1.2	2.6	3.0
3°	56.2	0.8	1.6	1.9
4°	72.8	0.6	1.3	1.5

注：扫描半径 $R=180\text{mm}$ ； $L=20\text{mm}$ 。

3. 测量方式选择

衍射仪测量方式有连续扫描和步进扫描法。不论是哪一种测量方式，快速扫描的情况下都能相当迅速地给出全部衍射花样，它适合于物质的预检，特别适用于对物质进行鉴定或定性估计。对衍射花样局部做非常慢的扫描，适合于精细区分衍射样式的细节和进行定量的测量。例如混合物相的定量分析，精确的晶面间距测定、晶粒尺寸和点阵畸变的研究等。

(1) 定速连续扫描 试样和接收狭缝按 $1:2$ 的角速度比均以固定速度转动。在转动过程中，检测器连续地测量X射线的散射强度，各晶面的衍射线依次被接收。BDX系列的衍射仪均采用步进电机来驱动测角仪转动，因此实际上转动并不是严格连续的，而是一步步（每步 0.0025° ）地跳跃式转动的。这在转动速度慢时特别明显。但是检测器及测量系统是连续工作的。

连续扫描的优点是工作效率较高。例如：扫描速度 $4^\circ/\text{min}$ (2θ)，扫描范围为 $20^\circ \sim 80^\circ$ 的衍射图 15min 即可完成，而且也有不错的分辨率、灵敏度和精确度，因而对大量的日常工作（一般是物相鉴定工作）是非常合适的。但在使用长图记录仪录图时，记录图会受计数率表RC的影响，须适当地选择时间常数。

(2) 定时步进扫描 试样每转动一定的 $\Delta\theta$ 就停止，然后测量记录系统开始工作测量一个固定时间内的总计数（或计数率），并将此总计数与此时的 2θ 角即时打印出来，或将此总计数转换成计数率用记录仪记录。然后试样再转动一定的 $\Delta\theta$ 再进行测量。如此一步步进行下去，完成衍射图的扫描。

(3) 数字记录时采样条件的选择 用计算机进行衍射数据采集时，可选定速连续扫描方式，也可以选定时步进扫描方式。这两种方式都要适当选择采集数据的“步长”（或称“步宽”）。采样步长小，数据个数增加；每步强度总计数小，计数误差大；但能更好地再现衍射的剖面图。采样步长大，能减少数据的个数，减少数据处理时的数据量；每步强度总计数较大，计数误差较小；但若步长过大，将影响衍射剖面图的再现。为保证衍射峰的检出，采样步宽不能大于衍射峰半高全宽（FWHM）的 $1/2$ 。

衍射仪的工作条件对仪器 2θ 分辨能力和衍射强度的影响可从表1-3中清楚地看到。若干典型的记录目的与衍射仪实验条件的选择列于表1-3中，可供参考。一般使用 $0.1 \sim 0.2\text{mm}$ 宽的接收狭缝，扫描速度 $1^\circ/\text{min}$ (2θ) 和时间常数 1s ，已能得到很好分辨能力的衍射图了，而所费时间也不算太多。

表 1-3 记录目的与衍射仪工作条件的选择

记 录 目 的	发散狭缝 $/(^{\circ})$	接收狭缝 $/\text{mm}$	扫描速度 $/(^{\circ}/\text{min})$	样品 厚度
1. 为定性鉴定样品的主要组分，记录大角度范围的衍射图	2(中等)	0.2~0.6(中到大)	2 或 4	厚
2. 为定性鉴定样品的少量组分，记录大角度范围的衍射图	4(大)	0.2~0.4(中等)	2	厚
3. 对尖锐的峰进行准确的积分强度的测量	4(大)	0.4 或 特宽	1/8, 1/4 或 定点测量	厚
4. 对宽的峰进行准确的积分强度的测量	4(大)	0.6(大)	1/4, 1/2	厚
5. 为取得细节清楚分辨良好的一小段衍射图	1(小)	0.08~0.2(小)	1/8, 1/4	薄
6. 为研究衍射峰的宽化	1(小)	0.08(小)	1/8	薄
7. 精确测定晶胞常数	1(小)	≤ 0.24 (小)	1/8	薄

此外，靶材、滤片及管流、管压都要适当选择。值得指出的是，要想得到一张显示物质精细变化的高质量衍射图，应根据不同的分析目的而使各种参数适当配合。表 1-4 提供了一些可供选用的参考方案。

表 1-4 实验数据的选择

条 件	未知试样的 简单相分析	铁化合物的 相分析	有机高分 子测定	能量相分析	定量相分析	点阵参数测定
靶材	Cu	Cr,Fe,Co	Cu	Cu	Cu	Cu,Co
K _β 滤波片	Ni	V,Mn,Fe	Ni	Ni	Ni	Ni,Fe
管压/kV	35~45	20~40	35~45	35~45	35~45	35~45
管流/mA	30~40	20~40	30~40	30~40	30~40	30~40
时间常数/s	1,0.5	1,0.5	2,1	10~2	10~2	5~1
扫描速度/(°/min)	2,4	2,4	1,2	1/2,1	1/4,1/2	1/8~1/4
走纸/(cm/min)	2,4	2,4	1,2	1/2,1	1,2,1/2	1/2~4
D. S/(°)	1	1	1/2,1	1	1/2,1,2	1
R. S/(°)	0.3	0.3	0.15,0.3	0.3,0.6	0.15,0.3,0.6	0.15,0.3
扫描范围	90°~2°	120°~10°	60°~2°	90°~2°	需要的	尽可能高角度线

实验内容和步骤

一、衍射仪操作

(1) 开机前的准备和检查 将准备好的试样插入衍射仪样品架，盖上顶盖，关闭好防护罩。开启水龙头，使冷却水流通。检查 X 光管电源，打开稳压电源。

(2) 开机操作 开启衍射仪总电源，启动循环水泵。待准备灯亮后，接通 X 光管电源。缓慢升高电压、电流至需要值。(若为新 X 光管或停机再用，需预先在低管压、管流下“老化”后再用)。设置适当的衍射条件。打开记录仪和 X 光管窗口，使计数管在设定条件下扫描。

(3) 停机操作 测量完毕，关闭 X 光管窗口和记录仪电源。利用快慢旋转使测角仪计数管恢复至初始状态。缓慢顺序降低管电流电压至最小值，关闭 X 光管电源，取出试样。15min 后关闭循环水泵，关闭水龙头。关闭衍射仪总电源、稳压电源及线路总电源。

(4) 衍射仪控制及衍射数据采集分析系统 BDX 系列的 X 射线衍射仪其运行控制以及衍射数据的采集分析通过一个配有“BDXD X 射线衍射分析操作系统”的计算机系统以在线方式来完成的。BDX 的计算机系统是一个多处理器系统。它以个人计算机为主机，通过一个串口控制前级控制机。前级机根据主机的命令或操作者直接从前级机的小键盘输入的命令去执行操作衍射仪的各种功能程序。BDX 分析操作系统由两大基本功能块组成。

二、衍射仪操作系统

衍射仪操作系统功能主要是用来控制衍射仪的运行，完成粉末衍射数据的采集，实时地进行分析处理。主要功能：

- ① 衍射峰测量；
- ② 重叠扫描；
- ③ 定时计数；

- ④ 定数计时；
- ⑤ 测角仪转动；
- ⑥ 测角仪步进、步退；
- ⑦ 校读。

衍射图谱分析系统：

- ① 图谱处理；
- ② 寻峰；
- ③ 求面积、重心、积分宽；
- ④ 减背景；
- ⑤ 谱图对比（多个衍射图的叠合显示与图谱加减）；
- ⑥ 平滑处理；
- ⑦ $2\theta-d$ 之间相互换算。

实验二 X 射线衍射技术与定性相分析

实验目的

1. 掌握使用 X 射线衍射仪进行物相分析的基本原理和实验方法。
2. 掌握利用 X 射线衍射仪进行物相分析的衍射数据的处理方法。
3. 掌握物相分析的过程与步骤。

实验原理

一、定性相分析的原理与方法

相是材料中各元素作用形成的具有同一聚集状态、同一结构和性质的均匀组成部分，分为化合物和固溶体两类。物相分析，是指确定材料由哪些相组成和确定各组成相的含量。根据晶体对 X 射线的衍射特征——衍射线的方向及强度来鉴定结晶物质的物相的方法，就是 X 射线物相分析方法。

组成物质的各种相都具有各自特定的晶体结构（点阵类型、晶胞形状与大小及各自的结构基元等），因而具有各自的 X 射线衍射花样特征（衍射线位置与强度）。对于多相物质，其衍射花样则由其各组成相的衍射花样简单叠加而成。由此可知，物质的 X 射线衍射花样特征就是分析物质相组成的“指纹脚印”。

制备各种标准单相物质的衍射花样并使之规范化，将待分析物质（样品）的衍射花样与之对照，从而确定物质的组成相，这就是物相定性分析的基本原理与方法。

（一）PDF 卡片及其检索方法

1. PDF 卡片

各种已知物相衍射样式的规范化工作于 1938 年由哈那瓦特（J. D. Hanawalt）开创。他的主要工作是将物相的衍射花样特征（位置与强度）用 d （晶面间距）和 I （衍射线相对强度）数据组表达并制成相应的物相衍射数据卡片。卡片最初由“美国材料试验学会（ASTM）”出版，故称 ASTM 卡片。1969 年成立了国际性组织“粉末衍射标准联合会（JCPDS）”，由它负责编辑出版“粉末衍射卡片”，称 PDF 卡片。

图 2-1 为氯化钠晶体 PDF 卡片的内容构成示意图。

① 卡片序号 PDF 卡片序号形式为 X-XXXX。符号“-”之前的数字表示卡片的组号，符号“-”之后的数字表示卡片在组内的序号。

② 三强线 Hanawalt 将 d 值序列中强度最高的三根线条（称为三强线）的面间距和相对强度提到卡片的首位。三强线能准确反映物质特征，受试验条件影响较小是最常用的参数。

③ 这个数字是可能测到的最大面间距。

④ 物相的化学式及英文名称 在化学式之后有数字及大写字母，其中数字表示单

胞中的原子数，英文字母表示布拉菲点阵类型。各个字母所代表的点阵类型是：C——简单立方；B——体心立方；F——面心立方；T——简单四方；U——体心四方；R——简单菱形；H——简单六方；O——简单斜方；P——体心斜方；Q——底心斜方；S——面心斜方；M——简单单斜；N——底心单斜；Z——简单三斜。

d	2.82	1.99	1.63	3.26	NaCl Sodium Chloride (Halite)		
I/I_1	100	55	15	13	$d/\text{\AA}$	I/I_1	hkl
Rad. CuK α_1	$\lambda = 1.5405$	Filter	Ni	Dia	3.258	13	111
Cut off	I/I_1	Diffractometer	I/I_{cor}		2.821	100	200
Ref Swanson and Fuyat, NBS Circular 539, Vol 2, 41 (1953)					1.994	55	220
Sys. Cubic		S.G. Fm3m(225)			1.701	2	311
$a_0 = 5.6402$	b_0	c_0	A	C	1.628	15	222
α	β	γ	Z	4	Dx	2.164	400
Ref. Ibid.					1.294	1	331
$\epsilon\alpha$	$n\omega\beta$	1.542	$\epsilon\gamma$	Sign	1.261	11	420
2V	D	mp	Color	Colorless	1.1515	7	422
Ref. Ibid.					1.0855	1	511
An ACS reagent grade sample recrystallized twice from hydrochloric acid.					0.9969	2	440
X-ray pattern at 26°C					0.9533	1	531
Merck Index, 8th Ed., p. 956					0.9401	3	600
					0.8917	4	620
					0.8601	1	533
					0.8503	3	622
					0.8141	2	444

FORM M-2

图 2-1 PDF 卡片的内容构成示意图

矿物学通用名称或有机结构式也列入④栏。右上角标号“★”表示数据可靠性高；“i”表示经指标化及强度估计，“○”号表示可靠程度低；无符号者为一般；“C”表示衍射花样数据来自计算。

⑤ 试验条件

- a. 其中 Rad. 为辐射种类；
- b. λ 为辐射波长，Filter 为滤波片名称；
- c. Dia. 为圆柱相机直径；
- d. Cutoff 为该设备所能测得的最大面间距；
- e. Coil. 为光阑狭缝的宽度或圆孔的尺寸；
- f. I/I_1 为测量线条相对强度的方法；
- g. dcorr, abs? 为所测 d 值是否经过吸收校正。

⑥ 晶体学数据

- a. 其中 Sys. 为晶系；
- b. S. G. 为空间群符号；
- c. a_0 、 b_0 、 c_0 为单胞点阵常数；
- d. $A = a_0/b_0$, $C = c_0/b_0$ 为轴比；
- e. α 、 β 、 γ 为晶胞轴间夹角；
- f. Z 为单位晶胞中相当于化学式的分子数目（对于元素是指单胞中的原子数；对